



БИООРГАНИЧЕСКАЯ ХИМИЯ

mom 10 * № 8 * 1984

УДК 577.182.26'17.012

КОНФОРМАЦИОННЫЕ СОСТОЯНИЯ ДИМЕРНЫХ АНАЛОГОВ ГРАМИЦИДИНА А

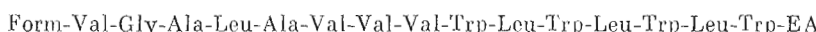
Сычев С. В., Фонина Л. А., Иванов В. Т.

*Институт биоорганической химии им. М. М. Шемякина
Академии наук СССР, Москва*

Методами ИК- и КД-спектроскопии исследованы конформационные состояния в растворе бис-производных грамицидина А, в которых взаимное расположение концевых групп фиксировано по принципу N-конец – N-конец, N-конец – C-конец и C-конец – C-конец путем введения ковалентных мостиков. Найдено, что в условиях, при которых удается избежать межмолекулярной ассоциации, конформация этих аналогов представляет собой структуру Рамачандрана – Урри $\pi_{LD}\pi_{LD}$ (ранее предлагавшуюся для грамицидина А) либо структуры, также состоящие из одиночных π_{LD} -спиралей $\pi_{LD}\pi_{LD}$ или $\pi_{LD}\pi_{LD}$ в зависимости от положения ковалентной сшивки. При межмолекулярной ассоциации образуются антипараллельные двойные спирали. На основании полученных данных обсуждается механизм образования антипараллельной двойной спирали в грамицидине А и его аналогах.

Известно, что каналообразующий антибиотик грамицидин А находится в сложном конформационном равновесии. Помимо мономера в растворах образуются по крайней мере четыре димерные формы, весьма медленно переходящие друг в друга и поэтому легко разделяемые на тонкослойной пластиинке [1]. Каждая из указанных форм, по данным работы [2], в свою очередь представляет собой в неполярной среде (диоксан) смесь трех более быстро конвертируемых конформеров. Все димерные формы имеют спиральную структуру, различаясь типомстыковки (одиночные спирали Рамачандрана – Урри [3–6] или двойные спирали Витча и Блаута [1]), направлением закручивания (правые или левые), числом остатков на виток (4,4; 6,3 или 8,2 для одиночной спирали [6, 7] и 5,6; 7,2 или 9,0 для двойной спирали [1]) и соответственно длиной (36–18 Å) и диаметрами осевой полости (1,2–6,6 Å), предназначено для транспорта иона щелочного металла или протона. Кроме того, одиночные спирали могут ассоциировать по типу «голова к голове», «голова к хвосту» и «хвост к хвосту», а двойные спирали могут быть параллельными или антипараллельными.

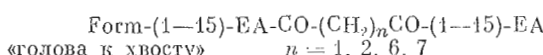
С целью упростить конформационное равновесие грамицидина А была синтезирована серия ковалентно спищих бис-грамицидинов, в которых концевые фрагменты двух молекул грамицидина А соединены мостиками различной длины по принципу «голова к голове», «голова к хвосту» и «хвост к хвосту» [8]. В настоящей работе представлены результаты исследования пространственной структуры в растворе части полученных производных (см. схему), представляющих все три типа кросс-спицок.



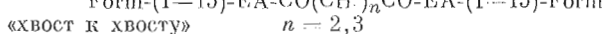
Граминидин А Form = CHO; EA = C₂H₅ONH₂



«Голова к голове» $n = 2, 4, 6$



Горбова Р. АБОВЯН» № — 1, 2, 3



ANSWER TO ANSWER

Так и в работе [2], основная информация о структуре цептидов была получена путем разложения экспериментального ИК-спектра на составляющие компоненты, рассчитанные ранее методом [9, 10] для спиралей

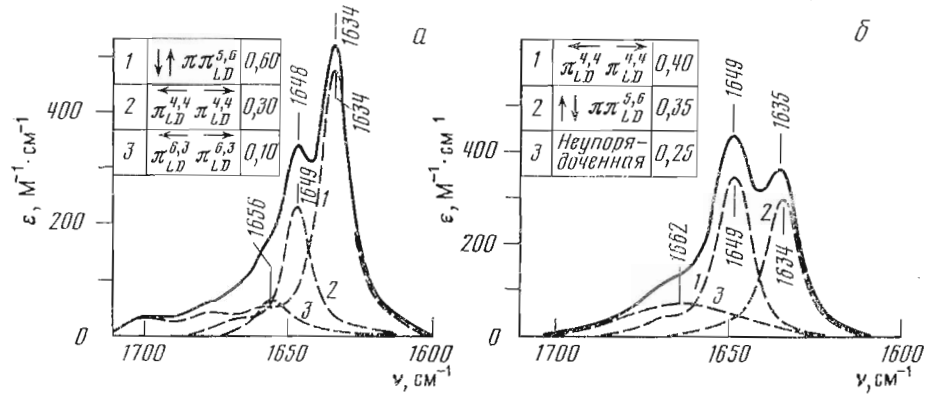
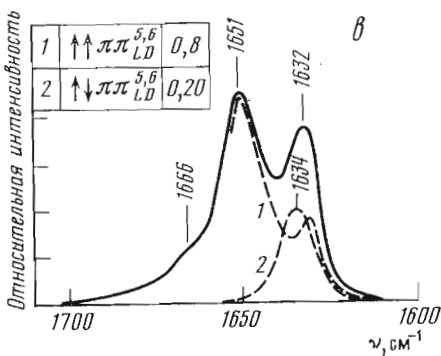


Рис. 1. ИК-спектры в области полосы Амид I аналога «хвост к хвосту» ($n=3$) в диоксане при $c=7,45 \cdot 10^{-4}$ (а) и $7,55 \cdot 10^{-5}$ М (б). Стихом здесь и на других рисунках показаны кривые, полученные разложением сложного контура полосы на рассчитанные спектры конформаций, перечисленных на рисунке. Вместо ИК-спектра структуры $\pi_{LD}^{4,4}\pi_{LD}^{2,2}$ (спектр которой не считался) взят расчетный спектр близкой к ней конформации $\pi_{LD}^{4,4}\pi_{LD}^{4,4}$, в — синтез сложного контура полосы с целью получения максимального приближения к наблюдаемому спектру при использовании спектра $\uparrow\downarrow\pi\pi_{LD}^{5,6}$ -спирали



различного типа. В табл. 1 приведены рассчитанные частоты колебания Амид I. Частоте 1634 см^{-1} отвечает конформация $\uparrow\downarrow\pi\pi_{LD}^{5,6}$ -спирали (табл. 1), однако ее отличие от частоты, рассчитанной для $\uparrow\uparrow\pi\pi_{LD}^{7,2}$ -спиралей (1636 см^{-1}), составляет лишь 2 см^{-1} , так что эта частота может указывать на присутствие обеих антипараллельных двойных спиралей. Намного выше (1647 — 1649 см^{-1}) лежат частоты, соответствующие конформациям димеров, построенных из π_{LD} -спиралей: $\pi_{LD}\pi_{LD}$ и $\pi_{LD}\pi_{LD}$. При этом изменение стыковки π_{LD} -спиралей в димере грамицидина А практически не изменяет частоту основного компонента полосы Амид I.

Дополнительную информацию, в частности о наличии ассоциатов, получали из изменения спектров КД с разбавлением растворов. Большинство спектров снимали в диоксане; в отдельных случаях использовали спирты (метанол, этанол, 2-хлорэтанол). ИК-спектры измеряли в интервале концентраций 10^{-2} — 10^{-5} М; большая чувствительность метода КД позволяла работать и с более разбавленными растворами ($\sim 10^{-6}$ М).

ИК-спектры аналогов «хвост к хвосту» ($n=2$ и 3) в диоксане не зависят от длины спивки, но меняют свой вид при разбавлении раствора от

Таблица 1
Расчетные частоты основного компонента полосы Амид I

Конформация	$\nu, \text{ см}^{-1}$	Конформация	$\nu, \text{ см}^{-1}$
$\uparrow\downarrow\pi\pi_{LD}^{5,6}$	1634	$\pi_{LD}^{4,4}\pi_{LD}^{4,4}$	1647
$\uparrow\uparrow\pi\pi_{LD}^{7,2}$	1636	$\pi_{LD}^{6,3}\pi_{LD}^{6,3}$	1656
$\uparrow\uparrow\pi\pi_{LD}^{5,6}$	1651	$\pi_{LD}^{4,4}\pi_{LD}^{4,4}$	1649
$\uparrow\downarrow\pi\pi_{LD}^{7,2}$	1655	$\pi_{LD}^{6,3}\pi_{LD}^{6,3}$	1656

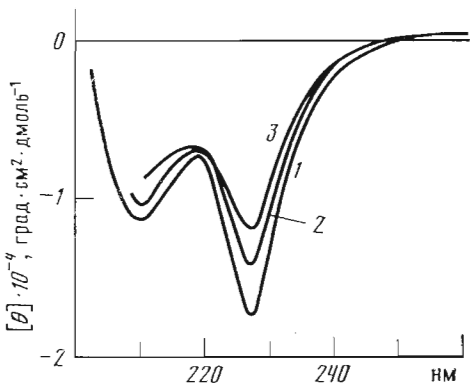


Рис. 2. Спектр КД (200–250 нм) диоксанового раствора аналога «хвост к хвосту» ($n=3$) при $c=1.0 \cdot 10^{-4}$ (1), $1.0 \cdot 10^{-5}$ (2) и $2.0 \cdot 10^{-6}$ М (3)

$\sim 10^{-3}$ до $\sim 10^{-4}$ М (рис. 1 a , b), что указывает на образование ассоциатов. Судя по спектрам КД (рис. 2), от ассоциатов не удается полностью избавиться даже при концентрации $\sim 10^{-6}$ М. В ассоциатах доминируют антипараллельные двойные спирали (60% при $\sim 10^{-4}$ М), в то время как при разбавлении они уступают свое место мономерной однотяжевой $\pi_{LD}^{4,4}\pi_{LD}^{4,4}$ -спирале, а именно $\pi_{LD}^{4,4}\pi_{LD}^{4,4}$, спирале – в соответствии с положением ковалентной связи. Из рис. 1 c видно, что допущение об участии в равновесии параллельных двойных ($\uparrow\downarrow\pi_{LD}$) спиралей не позволяет удовлетворительно воспроизвести экспериментальный спектр, т. е., как и в случае самого грамицидина А [2], такие структуры не реализуются. В 2-хлорэтаноле (10^{-3} М) доминирует неупорядоченная структура обоих производных.

ИК-спектры аналогов «голова к голове» ($n=2, 4$ и 6) в диоксане (рис. 3 a) близки друг к другу и не зависят от концентрации в исследованном интервале ($1.0 \cdot 10^{-3}$ – $2.5 \cdot 10^{-5}$ М), что свидетельствует об устойчивости ассоциатов. Судя по спектрам КД, у аналога с $n=2$ ассоциаты начинают разрушаться, начиная с разбавления до $\sim 10^{-5}$ М (рис. 4 a). Изменения в спектрах КД аналога с $n=4$ (рис. 4 b) менее выражены, хотя они также свидетельствуют о диссоциации агрегатов. Анализ ИК-спектров на рис. 3 a указывает на присутствие пестрого набора структур; некоторые из возможных структур показаны на рис. 5. В 2-хлорэтаноле разрушение ассоциатов происходит при более высоких концентрациях ($10^{-2} \rightarrow 10^{-3} \rightarrow 10^{-4}$ М, рис. 4 b), т. е. по сравнению с диоксаном равновесие смещается в сторону мономера. При этом возрастает доля $\pi_{LD}\pi_{LD}$ -спиралей и убывает доля $\uparrow\downarrow\pi_{LD}$ -спиралей (ср. рис. 3 a и 3 b). В обоих растворителях присутствует $\sim 50\%$ неупорядоченной структуры (или сильно искаженных спиральных структур, которые в ИК- и Раман-спектрах проявляются в области полосы Амид I как «неупорядоченная» конформация [11]. При переходе к другим спиртам (трифторэтанол, этанол, метанол, см. рис. 3 b) возрастает доля компонента ~ 1660 см $^{-1}$, отвечающего неупорядоченной структуре [11, 12].

Практически неразличимые ИК-спектры производных «голова к хвосту» ($n=1, 2, 6$ и 7) в диоксане при высоких (10^{-3} М) концентрациях указывают на присутствие больших количеств (65%, см. рис. 6 a) $\uparrow\downarrow\pi_{LD}^{5,6}$ -спиралей. Разрушение ассоциатов хорошо выражено у производных с длинным мостиком ($n=6$ и 7 , рис. 6) и значительно слабее – у производных с коротким мостиком (в качестве примера приведены ИК- и КД-данные для $n=1$, рис. 7); во всех случаях диссоциация сопровождается снижением доли $\uparrow\downarrow\pi_{LD}$ -конформеров. В 2-хлорэтаноле (10^{-3} М) преобладают неупорядоченные формы.

Данные о структуре изученных бис-производных собраны в табл. 2.

При постановке работы предполагалось, что исключение из равновесия ряда структур, например $\uparrow\downarrow\pi_{LD}$ -спиралей у производных типа «голова к голове» и «хвост к хвосту» или $\pi_{LD}\pi_{LD}$ -спиралей в серии производных

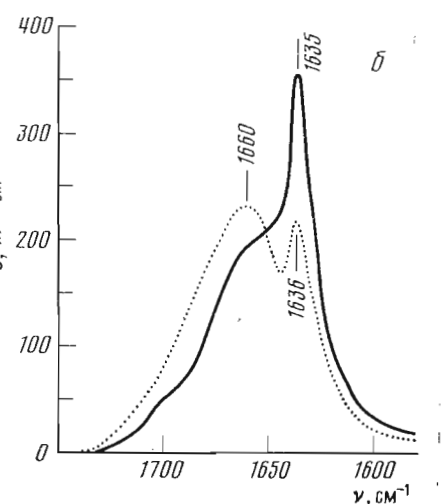
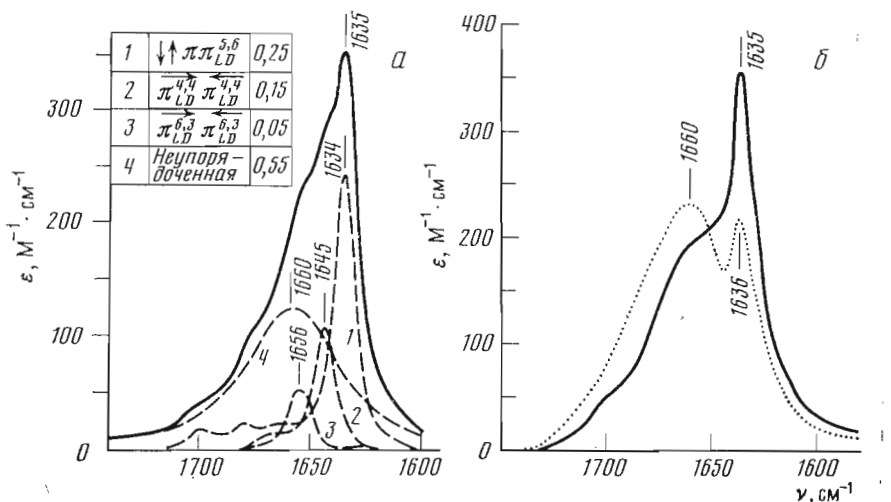
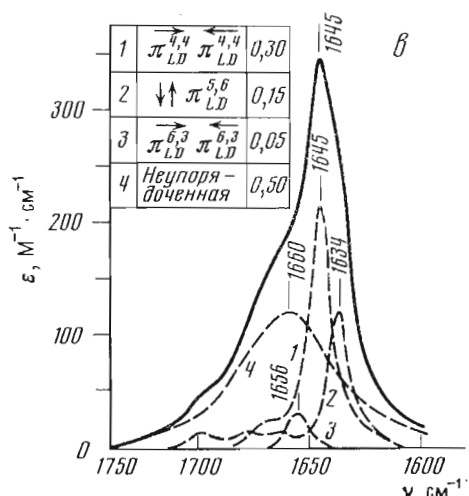


Рис. 3. ИК-спектры в области полосы Амид I аналога «голова к голове» ($n=2$) в диоксане при $c=2,1 \cdot 10^{-4}$ М (а), в этаноле (сплошная линия) и метаноле (пунктирная линия) при $c=2,3 \cdot 10^{-4}$ М (б), в 2-хлорэтаноле при $c=1,0 \cdot 10^{-3}$ М (в)



типа «голова к хвосту», позволит уменьшить конформационную гетерогенность пептидов. Однако данные КД- и ИК-спектров свидетельствуют о сложном характере конформационного равновесия, схематически представленного на рис. 5. Все бис-производные обнаруживают склонность к ассоциации. В ассоциатах присутствуют как одиночные, так и двойные спирали; у производных типа «голова к голове», кроме того, присутствует значительная доля неупорядоченных структур. Высокий процент двойных спиралей (60%) по сравнению с одиночными (30%) в аналогах «хвост к хвосту» (табл. 2) указывает на присутствие ассоциатов больших порядков, чем димер, но построенных по тому же принципу.

Мономерное состояние, преобладающее в диоксане при концентрации $<10^{-5}$ М, характеризуется равновесием одиночных спиралей ($\pi_{LD}\pi_{LD}$, $\pi_{LD}\pi_{LD}$ или $\pi_{LD}\pi_{LD}$, в зависимости от положения мостика) и неупорядоченных конформеров. Спирали типа $\pi_{LD}\pi_{LD}$ и $\pi_{LD}\pi_{LD}$ ранее не наблюдались в пептидных системах, а лишь обсуждались теоретически [5, 13].

Спектры КД (рис. 4 и 7б) имеют отрицательные эффекты в области триптофанового хромофора при 228 нм, указывающие на левую закрученность соответствующих спиралей. Единственное исключение составляет ассоциат аналога «голова к голове», $n=2$ (рис. 4а). Аналогичная ситуация наблюдается и у грамицидина А, где как в мономерном, так и в димерном состоянии преобладают левые спирали.

Наиболее неожиданным результатом настоящей работы был тот факт, что при разбавлении растворов аналогов «голова к хвосту» наблюдалось

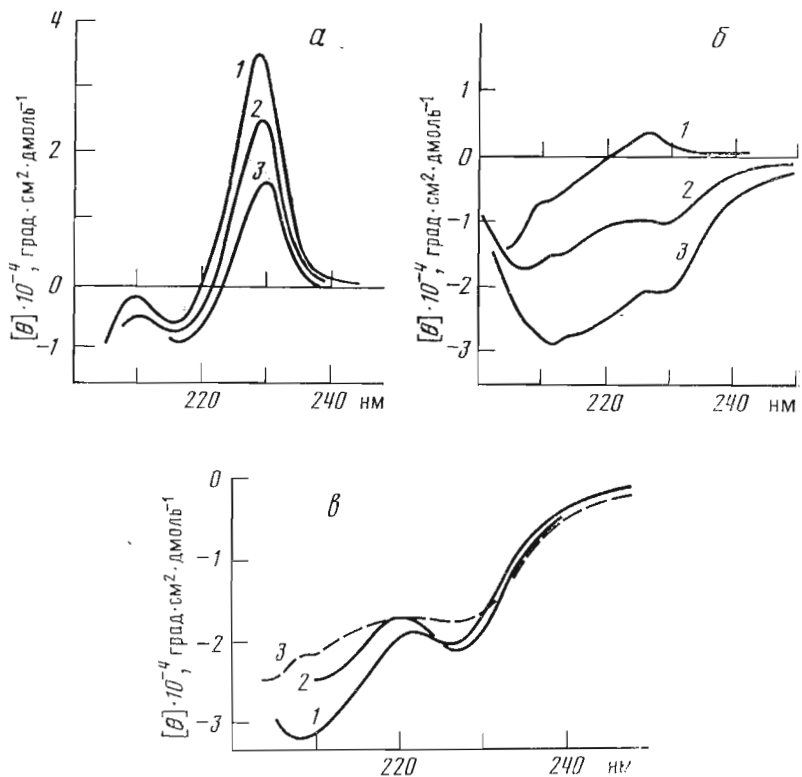


Рис. 4. Спектры КД (200–250 нм) аналога «голова к голове» ($n=2$): а – в диоксане при $c=10^{-3}-2,1 \cdot 10^{-4}$ (1), $1,0 \cdot 10^{-5}$ (2), $2,0 \cdot 10^{-6}$ М (3), б – в 2-хлорэтаноле при $c=0,95 \cdot 10^{-2}$ (1), $3,0 \cdot 10^{-3}$ (2), $3,0 \cdot 10^{-4}$ М (3). в – спектр КД аналога с $n=4$ в диоксане при $c=2,0 \cdot 10^{-4}$ (1), $1,0 \cdot 10^{-5}$ (2) и в 2-хлорэтаноле при $c=0,95 \cdot 10^{-3}$ М (3)

падение содержания антипараллельных двойных спиралей, хотя, казалось бы, они должны быть еще более стабильными, чем в самом грамицидине А, где они и без того уже доминируют [2]. Анализ полученных данных приводит к выводу, что образование $\uparrow\pi_{LD}$ -спиралей в ряду бис-грамицидинов А (и, естественно, самого грамицидина А) является *межмолекулярным* процессом, для протекания которого необходимо обеспечить «стык»

Таблица 2
Конформации бис-грамицидинов по данным ИК-спектроскопии в диоксане

Соединение	Концентрация, М	Конформация и ее мольные доли			
		$\uparrow\pi_{LD}^{5,6}$	$\pi_{LD}^{4,4} \pi_{LD}^{4,4}$	$\pi_{LD}^{6,3} \pi_{LD}^{6,3}$	неупорядоченная форма
«Хвост к хвосту»					
$n=2, 3$	$(4,8-7,45) \cdot 10^{-4}$	0,60	0,30	0,10	–
$n=2, 3$	$(5,8-7,55) \cdot 10^{-5}$	0,35	0,40	–	0,25
«Голова к голове»					
$n=2, 4, 6$	$1,0 \cdot 10^{-3}-2,5 \cdot 10^{-5}$	0,25	0,45	0,05	0,55
$n=2, 4$	$1,0 \cdot 10^{-3} *$	0,15	0,30	0,05	0,50
«Голова к хвосту»					
$n=1, 2$	$(1,0-1,2) \cdot 10^{-3}$	0,60	0,30	0,10	–
$n=6, 7$	$(0,5-1,1) \cdot 10^{-3}$	0,65	0,20	0,15	
$n=1, 2$	$(3,3-5,0) \cdot 10^{-5}$	0,55	0,35	0,10	–
$n=6$	$1,3 \cdot 10^{-4}$	0,15	0,25	0,15	0,45
$n=7$	$2,5 \cdot 10^{-5}$	0,50	0,45	–	0,05

* 2-Хлорэтанол.

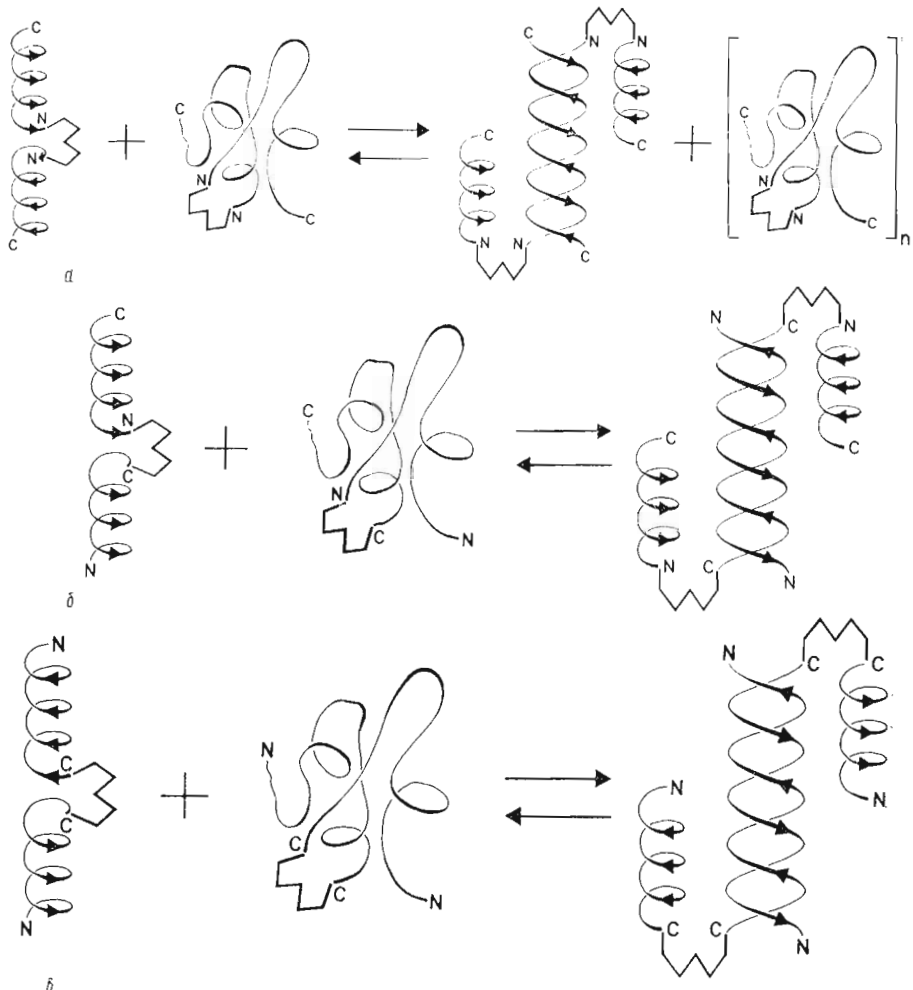


Рис. 5. Схема конформационного равновесия аналогов «голова к голове» (а), «голова к хвосту» (б) и «хвост к хвосту» (в) при низких (слева) и высоких (справа) концентрациях в диоксане

ковку» N- или C-концевых фрагментов грамицидина А. Развивая эту мысль, естественно предположить, что одиночные $\pi_{LD}\pi_{LD}$ - или $\pi_{LD}\pi_{LD}$ -спиралей являются промежуточными формами при переходе от мономерного полипептида к $\uparrow\downarrow\pi_{LD}$ -димеру, а переход $\pi_{LD}\pi_{LD} \rightarrow \uparrow\downarrow\pi_{LD}$ происходит путем «вкручивания» одной π_{LD} -спиралей в другую по так называемому «скользящему», или «зиппер» (от английского «zipper» — застежка-молния), механизму (рис. 8), включающему последовательную замену внутримолекулярных водородных связей на межмолекулярные, а также синхронное ступенчатое перераспределение большого числа межмолекулярных водородных связей (рис. 9).

Такой механизм в гипотетическом плане рассматривался Урри и сотр. еще в 1975 г. [14]. Отметим, что в пользу «зиппер»-механизма свидетельствует тот факт, что стабильность $\uparrow\downarrow\pi_{LD}$ -спиралей сильно зависит от модификации N-конца молекулы. Например, равновесная константа димеризации D-Leu-[L-Val¹]грамицидина в неполярном растворителе на 2 порядка ниже, чем в самом грамицидине А, хотя доминирующей конформацией аналога остается $\uparrow\downarrow$ -двойная спираль [2]. Кроме того, реализация такого перехода может быть облегчена тем обстоятельством, что, по данным теоретического конформационного анализа [15], одной из наиболее позитивно-энергетических структур грамицидина является π_{LD}^5 -спираль, промежу-

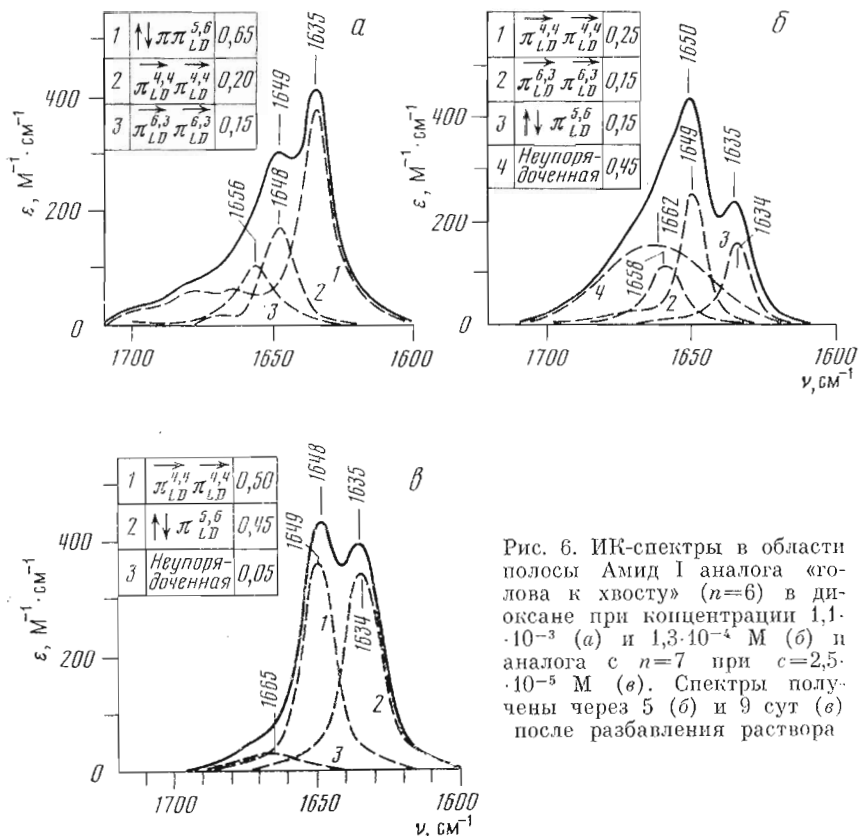


Рис. 6. ИК-спектры в области полосы Амид I аналога «голова к хвосту» ($n=6$) в диоксане при концентрации $1,1 \cdot 10^{-3}$ (а) и $1,3 \cdot 10^{-4}$ М (б) и аналога с $n=7$ при $c=2,5 \cdot 10^{-5}$ М (с). Спектры получены через 5 (б) и 9 сут (с) после разбавления раствора

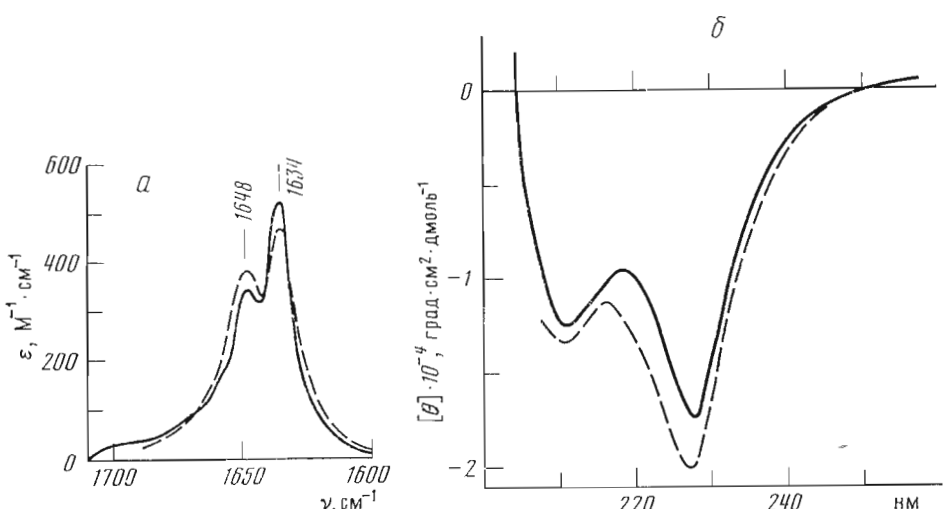


Рис. 7. ИК- (а) и КД- (б) спектры аналога «голова к хвосту» ($n=1$) в диоксане при $c=1,2 \cdot 10^{-3}$ (пунктир) и $1 \cdot 10^{-5}$ М (сплошная линия). Спектр получен через 5 сут после разбавления

точная между $\pi_{LD}^{4,4}$ и $\pi_{LD}^{6,3}$, не содержащая Н-связей и стабилизированная неналентными взаимодействиями.

При сравнении данных табл. 2 и рис. 5 по трем группам бис-производных обращает на себя внимание значительный процент «брата», т. е. неупорядоченных структур при ассоциации производных «голова к голове». По-видимому, «вкручивание» с С-конца протекает менее эффективно, чем с N-конца, что можно объяснить большим объемом С-концевой этано-

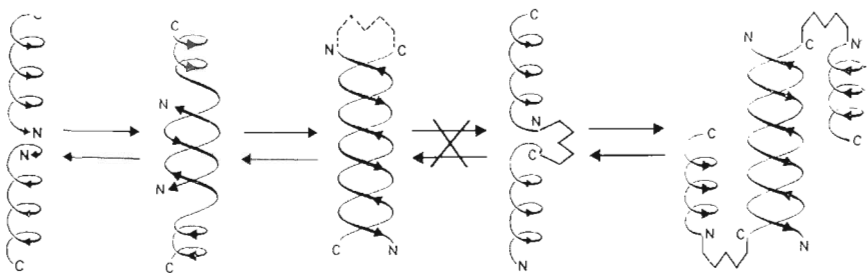


Рис. 8. «Зиппер»-механизм образования антипараллельной двойной спирали в грамицидине А и его бис-производных «голова к хвосту». N и C – N- и C-концы полипептидной цепи

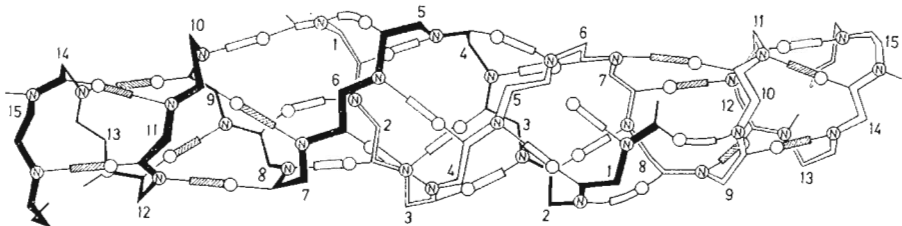


Рис. 9. Образование $\text{t}_{LD}^{4,4}$ -спиралей из двух $\pi_{LD}^{4,4}$ -спиралей по «зиппер»-механизму. Внутримолекулярные H-связи $\pi_{LD}^{4,4}$ -спиралей заштрихованы

ламидной группы, чем N-концевой формильной группы, и связанными с этим пространственными затруднениями.

Полученные результаты имеют прямое отношение к интерпретации мембранных свойств пептидов грамицидинового ряда. Эти аспекты рассмотрены в работах [16–19].

Экспериментальная часть

Метод синтеза и аналитические характеристики бис-грамицидинов приведены в работе [8].

Измерения спектров КД проводили на дихромографе Jobin Yvon III в кварцевых кюветах толщиной 0,01–5 мм. Значения молекулярной эллиптичности приводятся в расчете на один остаток.

ИК-спектры получали на спектрофотометре Perkin – Elmer 180 при разрешении $2–4 \text{ см}^{-1}$ в кюветах из CaF_2 толщиной 0,1–1 мм и в кювете толщиной 2,60 мм из NaCl . Ошибка в определении положения максимума полосы была $\pm 0,2 \text{ см}^{-1}$.

Все приводимые в работе ИК- и КД-спектры получены в равновесных условиях, что контролировалось измерением спектров через разные промежутки времени после растворения пептидов.

Разложение сложного контура полосы Амид I на отдельные компоненты – теоретически рассчитанные спектры – выполняли на семиканальном разлагателе кривых СК-2. Разложение спектра считалось законченным, если разница между расчетным и экспериментальным спектром не превышала среднеквадратичной ошибки измерения молярного коэффициента поглощения в максимуме полосы. Поскольку ошибка в определении молярного поглощения ($\sim 50 \text{ M}^{-1} \cdot \text{см}^{-1}$) разбавленных растворов ($\lesssim 10^{-3} \text{ M}$) соответствует интенсивности слабых компонентов в рассчитанных спектрах, анализ контуров в этих случаях вели только на основании основных компонентов (частоты которых приведены в табл. 1). Точность определения таким способом доли различных конформеров была $\pm 5\%$.

В некоторых случаях при анализе наблюдаемых ИК-спектров бис-аналогов грамицидина А мы допускали частотный сдвиг рассчитанных спектров на $1–2 \text{ см}^{-1}$ без изменения контуров полос (т. е. величин резонансного расщепления частот), что означает варьирование так называе-

мой невозмущенной частоты ν_0 [2, 9], определяющей абсолютное положение рассчитанного спектра по шкале частот. Небольшое варьирование невозмущенной частоты ν_0 обусловлено, в частности, варьированием растворителя [19]. Так, при анализе сложного контура полосы в 2-хлорэтаноле частота максимума полосы, отвечающей структуре $\pi_{LD}^{4,4}\pi_{LD}^{4,4}$ была взята равной 1645 см^{-1} (что соответствует положению полосы Амид I в наблюдаемом спектре) вместо рассчитанного значения 1647 см^{-1} (см. табл. 1).

ЛИТЕРАТУРА

1. Veatch W. R., Fosset E. R., Blout E. R. Biochemistry, 1974, v. 13, p. 5249–5256.
2. Sychev S. V., Nevskaya N. A., Jordanov St., Shepel E. N., Miroshnikov A. I., Ivanov V. T. Bioorgan. Chem., 1980, v. 9, p. 121–151.
3. Ramachandran G. N., Chandrasekaran R. In: Progress in Peptid Research/Ed. Lande S. N. Y.: Gordon and Breach, 1972, p. 195–215.
4. Ramachandran G. N., Chandrasekaran R. Ind. J. Biochem. Biophys., 1972, v. 9, p. 1–11.
5. Urry D. W. Proc. Nat. Acad. Sci. USA, 1971, v. 68, p. 672–676.
6. Urry D. W., Goodal M. C., Glicson J. D., Mayers D. F. Proc. Nat. Acad. Sci. USA, 1971, v. 68, p. 1907–1911.
7. Colonna-Cesari F., Premilat S., Heitz F., Spach G., Lotz B. Macromolecules, 1977, v. 10, p. 1284–1288.
8. Фонина Л. А., Демина А. М., Сычев С. В., Иванов В. Т., Хлавачек Я. Биоорганическая химия, 1984, т. 10, № 8, с. 1073–1079.
9. Chirgadze Yu. N., Nevskaya N. A. Biopolymers, 1976, v. 15, p. 607–625.
10. Moore W. H., Krimm S. Biopolymers, 1976, v. 15, p. 2439–2464.
11. Painter P. C., Coleman M. M. Biopolymers, 1978, v. 17, p. 2475–2484.
12. Chirgadze Yu. N., Shestopalov B. V., Venyaminov S. Yu. Biopolymers, 1973, v. 12, p. 1337–1351.
13. Bradley R. J., Urry D. W., Okamoto K., Rapaka R. Science, 1978, v. 200, p. 435–437.
14. Urry D. W., Long M. M., Jacobs M., Harris R. D. Ann. N. Y. Acad. Sci., 1975, v. 264, p. 203–220.
15. Попов Е. М., Липкинд Г. М. Мол. биол., 1979, т. 13, с. 363–376.
16. Ovchinnikov Yu. A., Ivanov V. T. In: Conformation in Biology/Eds Srinivasan R., Salama R. H. Guilderland, N. Y.: Acad. Press, 1982, p. 155–174.
17. Ivanov V. T. In: Peptides 1982/Eds Blaha K., Malon P. Berlin – N. Y.: de Gruyter, 1983, p. 73–89.
18. Ivanov V. T., Sychev S. V. Proc. of VIII Amer. Pept. Symp. Rockford, Illinois, Pierce Chem. Comp., 1984.
19. Susi H., Timasheff S. N., Stevens L. J. Biol. Chem., 1967, v. 242, p. 5460–5466.

Поступила в редакцию
14.V.1984

CONFORMATIONAL STATES OF GRAMICIDIN A BIS-DERIVATIVES

SYCHEV S. V., FONINA L. A., IVANOV V. T.

M. M. Shemyakin Institute of Bioorganic Chemistry, Academy of Sciences of the USSR, Moscow

A series of covalently linked gramicidin A dimers in which the ends are joined by a bridge of variable length in the N-terminus to N-terminus, N-terminus to C-terminus and C-terminus to C-terminus fashion have been studied by IR and CD spectroscopy in dioxane and alcohols. All the bis-derivatives show in dioxane a strong tendency to form antiparallel double ($\uparrow\downarrow\pi\pi_{LD}$) helical aggregates. In the monomeric state (at higher dilution, i. e. at 10^{-5} M or low concentration) they predominantly form single-stranded helices ($\pi_{LD}\pi_{LD}$, $\pi_{LD}\pi_{LD}$ or $\pi_{LD}\pi_{LD}$ depending on the position of the cross-link). The behavior of the «N-terminus to C-terminus» analogues supports the «sliding» or «zipper» mechanism for $\uparrow\downarrow\pi\pi_{LD}$ -helices formation.